

## Thoracic CT Scan Findings in Patients with HIV/TB co-infection before and after treatment

**Payam Mehrian<sup>1</sup>, Payam Tabarsi<sup>2</sup>, Maasumeh Noruzi<sup>3</sup>, Fateme Kheiridoust<sup>4</sup>, Zahra Ghomi<sup>5</sup>**

1. Associate professor, Chronic Respiratory Diseases Research Center, National Research Institute of Tuberculosis and Lung Diseases (NRITLD), Shahid Beheshti University of Medical Sciences, Tehran, Iran. ORCID ID: 0000-0003-3399-3208

2. Professor, Clinical Tuberculosis and Epidemiology Research Center, National Research Institute of Tuberculosis and Lung Diseases (NRITLD), Shahid Beheshti University of Medical Sciences, Tehran, Iran. ORCID ID: 0000-0002-8932-5420

3. Radiologist, Telemedicine Research center, National Research Institute of Tuberculosis and Lung Diseases (NRITLD), Shahid Beheshti University of Medical Sciences, Tehran, Iran.

4. Radiologist, Telemedicine Research center, National Research Institute of Tuberculosis and Lung Diseases (NRITLD), Shahid Beheshti University of Medical Sciences, Tehran, Iran.

5. Resident of radiology, Shohade-E-Tajrish Hospital, Shahid Beheshti University of Medical Sciences, Tehran, Iran.

(Corresponding author) Tel: 021-88084953, Email: zgh1881@gmail.com ORCID ID: 0000-0003-3113-2375

### ABSTRACT

**Background and Aim:** Pulmonary tuberculosis (TB) infection is common in patients infected with the Human immunodeficiency virus (HIV). In this study, we evaluated thoracic CT scan findings of HIV/TB co-infection, before and after anti-TB treatment.

**Materials and Methods:** In this retrospective cross-sectional study, pre- and post-treatment thoracic CT scans of patients diagnosed with HIV and definite pulmonary TB infection were evaluated.

**Results:** A total of 101 patients (64 male, 37 female, mean age of  $43 \pm 3.4$ ) were included. The most common findings before treatment of TB were mediastinal or hilar lymphadenopathy with hypodense center (41.58%) and free pleural effusion (32.67%). The prevalence of these findings decreased to half after anti-TB treatment ( $P= 0.009$  and  $P= 0.003$  respectively). Loculated pleural effusion showed increased prevalence after treatment ( $P= 0.031$ ) with no significant change in the prevalence of bronchiectasis, solitary pulmonary nodule, and lymphadenopathy without a hypodense center.

**Conclusion:** The most prevalent thoracic CT scan findings in patients with HIV/TB co-infection before anti-TB treatment were lymphadenopathy with the hypodense center, pleural effusion, and ground glass opacities. After treatment, numerous changes in imaging manifestations might be seen. The remaining residual CT scan findings (including bronchiectasis, lymphadenopathy with a hypodense center, and solitary pulmonary nodule) require more attention for accurate interpretation of thoracic CT scans in HIV patients.

**Keywords:** Tuberculosis, Pulmonary, HIV, Multidetector Computed Tomography

**Received:** Sep 30, 2019

**Accepted:** Aug 19, 2020

**How to cite the article:** Payam Mehrian, Payam Tabarsi, Maasumeh Noruzi, Fateme Kheiridoust, Zahra Ghomi. Thoracic CT Scan Findings in Patients with HIV/TB co-infection before and after treatment .ŞJKU 2021;26(1):22-32.

**یافته‌های سی‌تی اسکن ریوی در بیماران مبتلا به عفونت هم‌زمان ویروس نقص ایمنی انسانی و توبرکلوز قبل و بعد از درمان**

<sup>۵</sup> پیام مهر یان، پیام طبرسی، معصومه نوروزی، فاطمه خیری دوست، زهرا قمی

۱. ادشیار، مرکز تحقیقات بیماری‌های مزمن تنفسی، پژوهشکده سل و بیماری‌های ریوی، دانشگاه علوم پزشکی و خدمات بهداشتی-درمانی شهید بهشتی، تهران، ایران. کد ارجمند: ۰۳۳۹۹-۳۲۰۸-۰۰۰۰
  ۲. استاد، مرکز تحقیقات سل بالینی و اپیدمیولوژی، پژوهشکده سل و بیماری‌های ریوی، دانشگاه علوم پزشکی و خدمات بهداشتی-درمانی شهید بهشتی، تهران، ایران. کد ارجمند: ۰۲-۸۹۳۲-۵۴۲۰-۰۰۰۰
  ۳. متخصص رادیولوژی، مرکز تحقیقات پزشکی از راه دور، پژوهشکده سل و بیماری‌های ریوی، دانشگاه علوم پزشکی و خدمات بهداشتی-درمانی شهید بهشتی، تهران، ایران. کد ارجمند: ۰۲-۴۱۰۵-۴۶۶۸-۰۰۰۰
  ۴. متخصص رادیولوژی، مرکز تحقیقات پزشکی از راه دور، پژوهشکده سل و بیماری‌های ریوی، دانشگاه علوم پزشکی و خدمات بهداشتی-درمانی شهید بهشتی، تهران، ایران. کد ارجمند: ۰۲-۷۸۱۸-۱۰۲۰-۰۰۰۰
  ۵. رزیدنت رادیولوژی، بیمارستان شهدای تجریش، دانشگاه علوم پزشکی و خدمات بهداشتی-درمانی شهید بهشتی، تهران، ایران (مؤلف مسئول) تلفن ثابت: ۰۲۱-۸۸۰۸۴۹۵۳
  ۶. آدرس پست الکترونیکی: zgh1881@gmail.com کد ارجمند: ۰۳-۲۱۱۳-۲۳۷۵

حکیمہ

**زمینه و هدف:** عفونت سل ریوی در بیماران آلوده به ویروس نقص ایمنی انسانی (HIV) شایع است. در این مطالعه یافته‌های سی‌تی اسکن ریوی را در عفونت هم زمان توبرکولوز و HIV قبیل و بعد از درمان ضد سل ارزیابی می‌کنیم.

**مواد و روش‌ها:** در این مطالعه مقطعی گذشته‌نگر، سی‌تی اسکن ریوی بیماران دارای تشخیص عفونت HIV و سل ریوی قطعی قبل و بعد از درمان بررسی گردید.

**یافته‌ها:** در مجموع ۱۰۱ بیمار (۶۴ مرد، ۳۷ زن، میانگین سنی  $43 \pm 3/4$ ) وارد مطالعه شدند. شایع ترین یافته‌ها قبل از درمان سل، لنفادنوپاتی مدیاستینال یا هیلار با مرکز هیپوتنس (۴۱/۵۸ درصد) و پلورال افیوژن آزاد (۳۲/۶۷ درصد) بود. شیوع این یافته‌ها پس از درمان ضد سل به نصف کاهش یافت (به ترتیب  $0.009$  و  $0.003$ ). شیوع افیوژن پلورال لکوله پس از درمان افزایش یافت ( $=0.031$ ) و تغییر معنادار در شیوع بر ونشکتازی، ندول منفرد ریوی و لنفادنوپاتی، بدون مرکز هیپوتنس دیده نشد.

**نتیجه گیری:** شایع ترین یافته سی تی اسکن در بیماران مبتلا به عفونت هم زمان سل و HIV قبل از درمان ضد سل، لفادنوپاتی با مرکز هایپودنس، پلورال افیوژن آزاد و کدورت گراند گلس بود. پس از درمان، تغییرات زیادی در ظاهرات تصویربرداری ایجاد خواهد شد و یافته های باقی مانده ای در ریه ای این بیماران (شامل برونشکتاری، لفادنوپاتی بدون مرکز هایپودنس، ندول منفرد ریوی) بر جای خواهد ماند که لازم است برای تفسیر دقیق سی تی اسکن، ریوی در سیماران HIV مورد توجه قرار گیرد.

واژه های کلیدی: تور کلوز به لمعنی، و بوس نقش اینسان، سه تا اسک مولت دیگر،

ووصول مقاله: ۹۸/۷/۸ اصلاحیه نهاد: ۹۸/۱۱/۲۷ بذر ش: ۹۹/۵/۲۹

**مقدمه**

از زمان معرفی اولیه‌ی ویروس نقص ایمنی انسانی (Human Immunodeficiency Virus, HIV) در سال ۱۹۸۱ تا کنون، شیوع این عفونت در سراسر جهان افزایش یافته است. به طوری که در سال ۲۰۱۸ تقریباً ۳۸ میلیون نفر در سراسر جهان به این ویروس آلوده بوده و ۱.۷ میلیون نفر نیز در همین سال دچار عفونت جدید با این ویروس شده‌اند (۱).

از طرف دیگر افزایش شیوع و پاندمی عفونت HIV باعث افزایش شیوع هم‌زمان عفونت tuberculosis (TB) در جهان شده است. توبرکلوز یکی از شایع‌ترین بیماری‌های همراه در بیماران با عفونت ویروس نقص ایمنی انسانی و همچنین یکی از دلایل عمدی مرگ‌ومیر در این بیماران است (۲). طبق تخمین‌های سازمان بهداشت جهانی، ریسک ایجاد عفونت توبرکلوز در بیماران با HIV ۲۷ تا ۱۶ برابر افراد بدون عفونت HIV است و طبق برآوردهای اخیر این سازمان ۱۱٪ بیماران HIV دارای عفونت هم‌زمان با TB بوده‌اند (۳).

تظاهرات کلینیکی عفونت TB در بیماران دارای عفونت HIV متنوع بوده و بر اساس سطح لنفوسيت‌های CD4+ خون آن‌ها متفاوت است. در بیماران با سطح CD4<sup>3</sup> ۲۰۰/mm<sup>3</sup> که در واقع دارای ایمنی مناسب می‌باشد، عفونت TB ریوی با تظاهرات تیپیک شایع‌تر از تظاهرات خارج ریوی است. با پیشرفت نقص ایمنی و افت سطح CD4 به زیر ۲۰۰/mm<sup>3</sup> تظاهرات غیر تیپیک ریوی و نیز تظاهرات خارج ریوی TB در این بیماران افزایش می‌باید (۴).

تظاهرات تصویربرداری عفونت TB ریوی در بیماران با HIV متفاوت و اغلب غیر اختصاصی است که همین امر باعث مشکلات تشخیصی فراوان می‌شود. بر اساس سطح CD4 خون محیطی، عفونت TB در این بیماران می‌تواند در تصویر برداری به صورت انفیلتراسیون‌های زون فوکانی اغلب همراه با کاویته، کانسالیدیشن‌های لوب‌های میانی و

**مواد و روش‌ها**

در این مطالعه‌ی مقطعی گذشته‌نگر، تصاویر سی‌تی اسکن قفسه‌ی سینه در کلیه‌ی بیماران HIV مشتبی که در سال ۱۳۹۶ در بیمارستان مسیح دانشوری تهران برای آن‌ها تشخیص قطعی عفونت TB ریوی داده شد، مورد بررسی قرار گرفته است.

همچنین ارزیابی سی‌تی‌اسکن در کلیه بیماران بعد از انجام بررسی رادیوگرافیک انجام شد تا میزان خطا کاهش یابد. جهت استاندارد سازی گزارش‌ها، هر ریه به سه قسمت (در سمت راست: لوب‌های فوقانی، میانی و تحتانی و در سمت چپ لوب‌های فوقانی و تحتانی و لینگولا) تقسیم گردید و سپس در هر قسمت وجود یا عدم وجود یافته‌های طبقه‌بندی شده‌ی زیر موربد بررسی قرار گرفت:

کانسالیدیشن آلونولار، اوپاسیته‌ی گراند‌گلاس، ضایعه‌ی کاویتاری، اسکار ریوی، انفیلتاسیون ندولار، آدنوپاتی هیلار یا مدیاستینال با و بدون مرکز هایپودنس، افیوژن ریوی آزاد و یا لکوله، برونشکتازی، ندول منفرد ریوی، توده‌ی ریوی آدنوپاتی هیلار یا مدیاستینال به صورت غدد لنفاوی با دیامتر محور کوتاه (Short Axis Diameter, SAD) بالاتر از ۱۰ میلی‌متر تعریف گردید. همچنین توده‌ی ریوی به صورت ضایعات با قطر بالای ۳ سانتی‌متر تعریف شد.

کلیه اطلاعات به دست آمده توسط نرم افزار SPSS ورژن ۲۱ و با استفاده از آزمون آماری McNemar تجزیه و تحلیل گردید.

همچنین این مطالعه به موارد معاهده‌ی هلسینکی پایند بود و نیز به تائید کمیته‌ی اخلاق پزشکی دانشگاه علوم پزشکی و خدمات بهداشتی درمانی شهید بهشتی تهران و نیز کمیته‌ی اخلاق پزشکی بیمارستان مسیح دانشوری تهران رسیده است.

### یافته‌ها

از مجموع ۱۱۸ بیمار با عفونت هم زمان HIV و TB، ۱۷ بیمار با توجه به معیارهای خروج از مطالعه خارج شده و در مجموع ۱۰۱ بیمار وارد مطالعه شدند که از این میان ۶۴ بیمار مرد (۶۳.۳٪) و ۳۷ بیمار زن (۳۶.۶٪) بودند. میانگین سن بیماران  $43 \pm 3.4$  سال بود.

روش تشخیص قطعی TB ریوی در این بیماران، بررسی نمونه‌ی خلط و یا لاواژ برونکوآلتوئولار (Bronchoalveolar Lavage, BAL) رنگ‌آمیزی زیل نلسون برای باکتری اسید-فست و نیز کشت مایکوباکتریوم توبرکلوزیس در محیط Lowenstein-Jensen بود؛ بنابراین معیارهای ورود به مطالعه، وجود عفونت اثبات‌شده‌ی TB ریوی و نیز وجود تصاویر در قبل و بعد از درمان TB برای بیمار بود. معیارهای خروج از مطالعه، عدم تائید قطعی میکرو بیولوژیک ابتلا به توبرکلوز، لزوم قطع درمان قبل از تکمیل دوره‌ی درمانی به علت ایجاد عوارض دارویی و یا عدم تمایل بیماران به ادامه‌ی روند تشخیصی و درمانی بود. همچنین بیمارانی که دارای شواهد قطعی (میکرو بیولوژیک یا هیستولوژیک) از وجود سایر بیماری‌های متأثرکننده‌ی قفسه‌ی سینه (شامل لنفوم، سارکوم کاپوزی، بیماری‌های عفونی فرصت طلب از جمله پنوموسیستیس جیروروسی، نوکاردیا و مایکوباکتریوم های آتسپیک) بودند از مطالعه خارج گشتند. معیار پایان درمان وجود دو نوبت نمونه‌ی خلط منفی و یا وجود نمونه‌ی BAL منفی از نظر رنگ‌آمیزی باسیل اسید فست و یا کشت مایکوباکتریوم توبرکلوزیس بود.

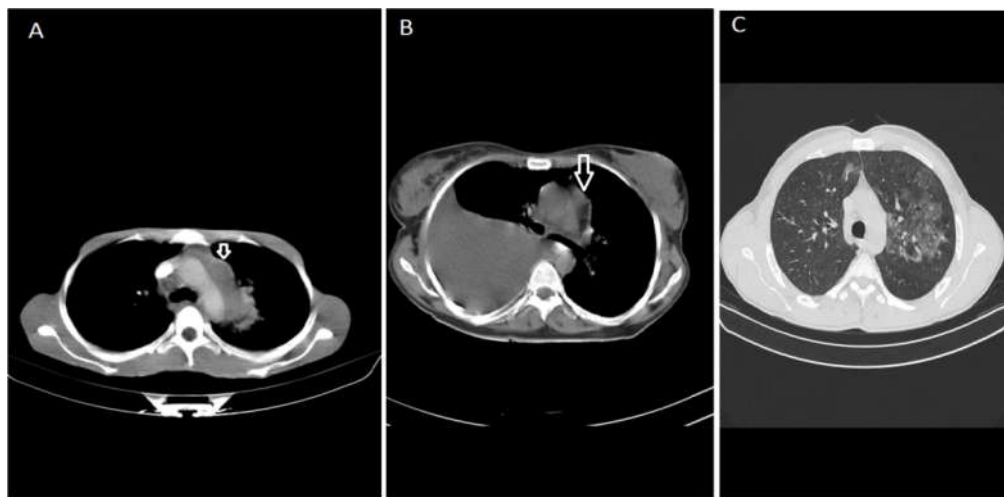
تصاویر سی‌تی‌اسکن کلیه بیماران به صورت تصاویر اسپیرال بدون کنترast وریدی در حالت دم عمیق و در وضعیت خوابیده به پشت (supine) با کات‌ها از قله تا قاعده‌ی هر دو ریه هم در ویندوی پاراشیم ریه و هم در ویندوی مدیاستینال تهیه شد. شرایط انجام سی‌تی‌اسکن طبق جدول ۱ تنظیم گردید (جدول ۱). زمان انجام سی‌تی‌اسکن برای بیماران یک نوبت در زمان تشخیص توبرکلوز و قبل از شروع اولین دوز درمانی و نوبت دوم در بازه زمانی یک هفته بعد از منفی شدن تست‌های میکرو بیولوژیک و قطع درمان توبرکلوزیس بود. تفسیر تصاویر سی‌تی‌اسکن توسط دو رادیولوژیست متخصص در تصویربرداری قفسه‌ی سینه

انفیلتراسیون ندولار هر کدام با شیوع ۱۹.۸٪ بود (شکل ۱). سایر یافته ها بر اساس شیوع به ترتیب در جدول ۲ آورده شده است.

شایع ترین یافته های سی تی اسکن قبل از درمان TB، بدون توجه به محل درگیری، لنفادنوپاتی (میدیاستینال یا هیلار) با مرکز هایپودنس با میزان شیوع ۴۱.۵۸٪، پلورال افیوزن غیرلکوله با شیوع ۳۲.۶۷٪ و کدورت گراند گلس و

جدول ۱. تنظیمات انجام سی تی اسکن

کیلوولت	۱۳۰
میلی آمپر ثانیه	۹۰
روتیشن گانتری	۰.۸ ثانیه
کولیماسیون	۵ میلی متر
طول ویندو	۱۵۰۰ ریه: میدیاستن: ۴۰۰
سطح ویندو	-۱۰۰ ریه: میدیاستن: ۲۰



شکل ۱. یافته های شایع سی تی اسکن در بیماران HIV مبتلا به توپر کلوز دیوی قبل از درمان TB

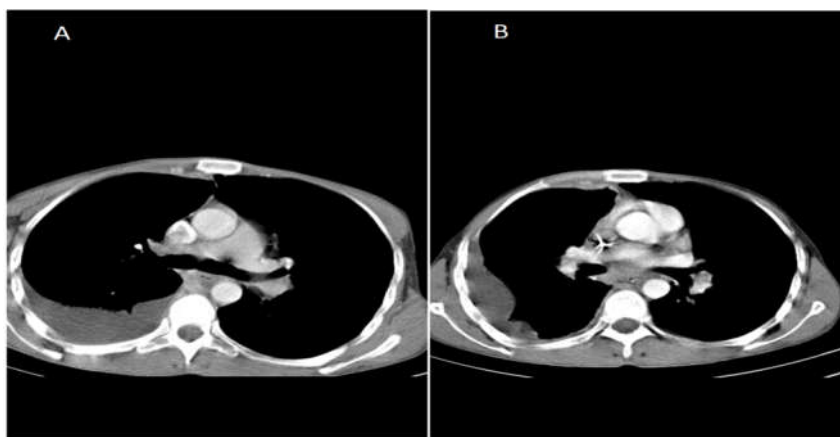
(A) لنفادنوپاتی با مرکز هایپودنس (B) پلورال افیوزن (همچنین لنفادنوپاتی میدیاستینال با مرکز هایپودنس نیز وجود دارد که با فلش نشان داده شده است.) (C) کدورت های گراند گلاس

جدول ۲. شیوع یافته های سی تی اسکن قبل و بعد از درمان

شیوع کلی یافته های سی تی اسکن			
قبل از درمان	پس از درمان	مقایسه آماری	
۰.۰۰۹	٪۲۳.۷۶	٪۴۱.۵۸	لنفادنوپاتی با مرکز هایپودنس
۰.۰۰۳	٪۱۳.۸۶	٪۳۲.۶۷	پلورال افیوزن غیر لکوله
۰.۵۵۶	٪۱۵.۸۴	٪۱۹.۸	کدورت گراند گلس

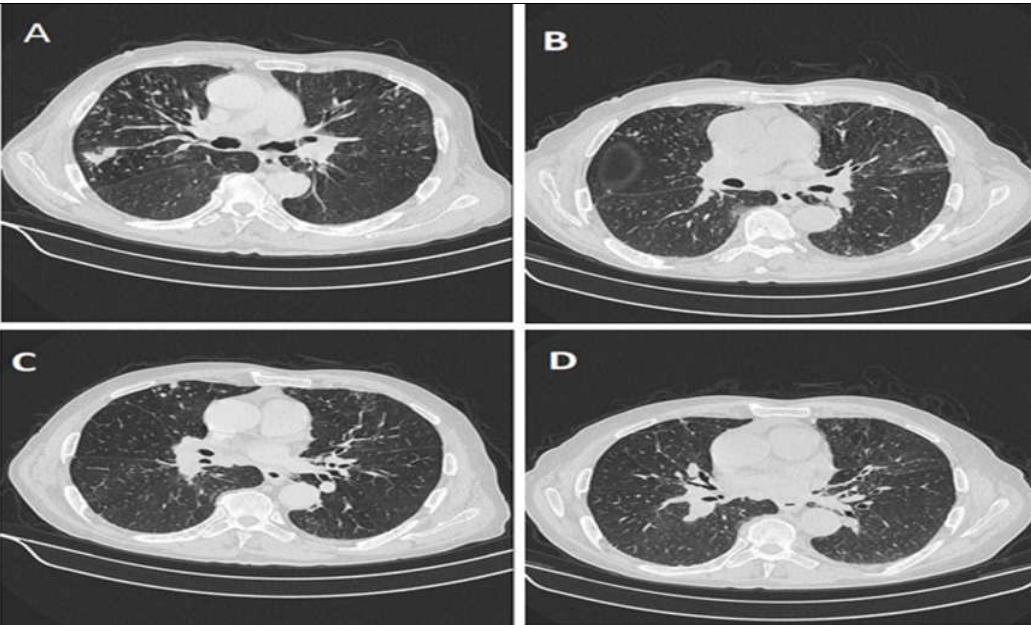
۰.۰۴۹	%۱۰.۸۹	%۱۹.۸	انفیلتراسیون ندولار
۰.۰۳۱	%۱۰.۸۹	%۱۶.۸۳	اسکار
۰.۰۳۱	%۵.۹۴	%۱۱.۸۸	کانسالیدیشن آلوٹولار
۰.۰۳۱	%۱۶.۸۳	%۱۰.۸۹	پلورال افیوژن لکوله
۰.۱۲۵	%۴.۹۵	%۸.۹۱	ضایعه‌ی کاویتاری
۰.۳۷۵	%۴.۹۵	%۷.۹۲	برونشکتاری
۰.۱۲۵	%۱۱.۸۸	%۶.۹۳	ندول منفرد ریوی
۰.۰۶۵	%۱۱.۸۸	%۴.۹۵	لنفادنوباتی بدون مرکز هایپودنس
۰.۵۰۰	۰	%۱.۹۸	تودهی ریوی

موارد معنادار از نظر آماری با علامت \* مشخص شده‌اند



شکل ۲. نمای پلورال افیوژن قبل و بعد از درمان.

شکل (A) سی‌تی اسکن اولیه‌ی بیمار قبل از شروع درمان ضد TB را نشان می‌دهد. پلورال افیوژن متواتسط غیر لکوله در سمت راست مشاهده می‌گردد. در سی‌تی اسکن کنترل انجام شده بعد از پایان درمان (B) نمای لکوله در پلورال افیوژن در سمت راست مشهود است.



شکل ۳. مقایسه برونشکتازی قبل و بعد از درمان

تصاویر قبل از درمان (A و C) کدورت های ندولار متعدد و نمای tree-in-bud به همراه برونشکتازی منتشر رانشان می دهند. در تصاویر بعد از درمان (B و D) باقی ماندن برونشکتازی با وجود بھبود کدورت های ریوی مشاهده می شود.

شیوع دو یافته شایع اصلی مشاهده شده قبل از درمان (لفادنوپاتی با مرکز هایپودنس، پلورال افیوژن غیر لکوله) بعد از درمان به حدود نصف کاهش یافت (به ترتیب از ۴۱.۵۸٪ به ۲۳.۷۶٪ و از ۳۲.۶۷٪ به ۱۳.۸۶٪) که در هر دو مورد از نظر آماری معنادار بوده است (جدول ۲). بیشترین کاهش در این بین در میزان شیوع پلورال افیوژن غیر لکوله بوده است که میزان آن پس از درمان به ۴۰٪ شیوع قبل از درمان کاهش یافت.

سایر مواردی که کاهش شیوع معنادار از نظر آماری پس از درمان داشتند، انفیلتراسیون ندولار، کانسالیدیشن آلوثولار و اسکار ریوی بوده اند. در شیوع سه یافته برونشکتازی (شکل ۳)، ندول منفرد ریوی و لفادنوپاتی بدون مرکز هایپودنس قبل و بعد از درمان تفاوت معنادار آماری وجود نداشت. (جدول ۲) میزان پلورال افیوژن لکوله پس از درمان به میزان معنادار از نظر آماری افزایش یافته است (شکل ۲، جدول ۲).

از نظر محل درگیری قبل از درمان TB، ترتیب شیوع به صورت درگیری لوب فوقاری در ۴۵.۵۴٪ موارد (۴۶ بیمار)، لوب تحتانی در ۳۰.۶۹٪ موارد (۳۱ بیمار)، لوب میانی راست در ۱۲.۸۷٪ موارد (۱۳ بیمار) و لینگولا در ۴.۹۵٪ موارد (۵ بیمار) بود.

پس از درمان شایع ترین یافته های سی تی اسکن بدون در نظر گرفتن محل درگیری، لفادنوپاتی با مرکز هایپودنس با شیوع ۲۳.۷۶٪ پلورال افیوژن لکوله با شیوع ۱۶.۸۳٪ و کدورت گراند گلس با شیوع ۱۵.۸۴٪ بود. سایر یافته های پس از درمان بر اساس شیوع نیز در جدول ۲ آورده شده است.

از نظر محل درگیری پس از درمان، ترتیب شیوع به صورت درگیری لوب فوقاری در ۳۴.۶۵٪ موارد (۳۵ بیمار)، لوب تحتانی در ۱۳.۸۶٪ موارد (۱۴ بیمار)، لوب میانی راست در ۹.۹٪ موارد (۱۰ بیمار) و لینگولا در ۳.۹۶٪ موارد (۴ بیمار) بود.

دیگر همراه در HIV (برای مثال پنوموستیس جیره‌وسی) نادر هستند (۱۸).

یکی دیگر از یافته‌های رادیولوژیک مورد بررسی در این مطالعه که در مطالعات مشابه مورد توجه قرار نگرفته است، وجود کدورت‌های گراند گلکس است که سومین یافته‌ی شایع در این بیماران قبل از درمان بوده است. کمبود اطلاعات قبلی در این زمینه عمدتاً به علت تمرکز مطالعات قبلی بر بررسی‌های رادیوگرافی است که حساسیت آن‌کی جهت بررسی کدورت‌های گراند گلکس دارا هستند (۱۹)؛ بنابراین توجه بر این نکته که کدورت گراند گلکس از یافته‌های رایج این بیماران می‌باشد، نیاز به تصویربرداری سی‌تی اسکن در بیماران مشکوک با گرافی نرمال جهت ارزیابی این کدورت‌ها را مطرح می‌کند.

مسئله‌ی دیگر مورد تأکید در این مطالعه که در مطالعات بسیار آن‌کی پیش از این مورد بررسی قرار گرفته است (۲۰)، تأثیر درمان ضد TB بر یافته‌های تصویربرداری بیماران است. درمان ضد TB تغییرات مهمی در نمای سی‌تی اسکن بیماران به وجود می‌آورد. به دنبال درمان ضد TB در بیماران این مطالعه دو یافته‌ی شایع به طور واضح کاهش پیدا کرد. همچنین انفیلتراسیون ندولار، کاتسالیدیشن آلوئولار و ضایعات کاویتاری که در مطالعات قبلی جزو علائم عفونت فعال TB در نظر گرفته شده‌اند (۲۱)، کاهش یافته است. این امر اهمیت درمان مناسب و تأثیر آن بر فعالیت بیماری TB در این بیماران را بیش از پیش برجسته می‌نماید.

یافته‌ی مهم دیگر، افزایش میزان پلورال افیوژن لکوله بعد از درمان در کنار کاهش میزان پلورال افیوژن غیر لکوله است. هر چند که در مقالات قبل از این به مؤثر بودن درمان ضد TB در رفع پلورال افیوژن ناشی از آن اشاره شده است (۲۲)، مقالاتی که به بررسی عوارض پلورال TB بعد از درمان در بیماران با نقص اینمی بپردازند وجود ندارند. نتایج حاصل از این مطالعه می‌تواند این تئوری را مطرح نماید که

از نظر محل در گیری، پس از درمان کاهش معناداری در شیوع در گیری لوپ‌های تحتانی دیده شد (Dideh Shd (0.035): p).

## بحث

در مطالعه‌ی حاضر، شایع‌ترین یافته‌ی سی‌تی اسکن عفونت TB در بیماران با عفونت HIV، لنفادنوباتی (هیلار یا مدیاستینال) بوده است. مطالعات مختلفی در تائید یافته‌ی فوق وجود دارند (۱۳، ۱۲، ۱۰) که این امر نشان دهنده‌ی اهمیت این نشانه‌ی رادیوگرافیک برای تشخیص عفونت TB در این بیماران است. این واقعیت که لنفادنوباتی هیلار و مدیاستینال در درصد کمی از عوارض ریوی مرتبط با HIV/AIDS دیده می‌شود (۱۲) بر اهمیت این یافته‌ی تشخیصی در این بیماران می‌افزاید. هرچند در برخی مطالعات نیز شیوع بیشتر لنفادنوباتی در بیماران مبتلا به TB/HIV نسبت به گروه کنترل تائید نشده است (۱۴، ۱۵)، این امر می‌تواند در زمینه‌ی نحوه‌ی انتخاب نمونه و نیز عدم تطابق مناسب گروه case و کنترل باشد.

همچنین مسئله‌ای که در این مطالعه، به طور ویژه نسبت به سایر مطالعات مشابه (۱۰، ۱۶، ۱۷) مورد توجه قرار گرفت، وجود مرکز هایپودنس در لنفادنوباتی های هیلار و یا مدیاستینال بود که به طور واضح نسبت به عدم وجود مرکز هایپودنس شیوع بیشتری داشت؛ بنابراین این یافته می‌تواند به عنوان یک نشانه‌ی کاملاً کمک‌کننده و مکمل در تشخیص عفونت TB در این بیماران مطرح گردد.

دومین یافته‌ی شایع سی‌تی اسکن در بیماران این مطالعه وجود پلورال افیوژن غیر لکوله بود که این یافته می‌تواند در کنار لنفادنوباتی های با مرکز هایپودنس، برای تشخیص بهتر کاملاً کمک‌کننده باشد. این امر در تائید مطالعات قبلی است که وجود پلورال افیوژن در کنار لنفادنوباتی را برای تشخیص عفونت TB در بیماران با نقص اینمی اکتسابی دارای بالاترین دست آورد تشخیصی تصویربرداری عنوان کرده‌اند، به ویژه این که این یافته‌ها در اغلب عفونت‌های

بیماران HIV مثبت قبل از بروز عفونت TB بررسی نگردید که این موضوع می تواند مبنای مطالعات با ارزش در آینده باشد. همچنین در این مطالعه، انتباط تظاهرات رادیو گرافیک با وضعیت ایمنی و سطح CD4 خون بیماران HIV مثبت به علت عدم وجود اطلاعات کافی در این زمینه در مورد همه بیماران مقدور نگردید. با توجه به این که مطالعات مختلف قبلی به نقش سطح CD4 خون در نحوه بروز تظاهرات رادیو گرافیک و سی تی اسکن قفسه‌ی سینه در عفونت TB در بیماران دچار عفونت HIV تأکید کرده‌اند (۲۷)، مطالعات آینده می تواند به بررسی این تظاهرات در تطابق با سطح CD4 خون پردازد.

### نتیجه‌گیری

در مجموع، نتایج این مطالعه نشان داد که شایع ترین یافته‌های سی تی اسکن در بیماران با عفونت هم‌زمان TB ریوی و HIV قبل از شروع درمان، لنفادنوپاتی با مرکز هایپودنس، پلورال افیوژن و کدورت‌های گراند گلاس است که می توانند کمک مؤثری به رادیولوژیست در جهت تشخیص صحیح و به موقع ارائه دهند. با درمان مؤثر ضد TB، این یافته‌های تصویربرداری دچار تغییرات متعددی می شوند و همچنین یافته‌های باقی مانده‌ای در ریه‌ی این بیماران در مقایسه با ریه‌ی نرمال بر جای می‌مانند که توجه به این یافته‌های باقی مانده در تفسیر سی تی اسکن ریه‌ی بیماران با عفونت HIV دارای اهمیت فراوان است.

### تشکر و قدردانی

نویسنده‌گان مقاله مراتب تشکر و قدردانی خود را از معاونت تحقیقات و فناوری دانشگاه علوم پزشکی شهید بهشتی تهران و پژوهشکده‌ی سل و بیماری‌های ریوی بیمارستان دکتر مسیح دانشوری به واسطه تائید و همکاری در انجام این پژوهش اعلام می‌دارند. این مقاله حاصل پایان‌نامه دکترای تخصصی دکتر معصومه نوروزی بوده و در کمیته‌ی اخلاق پژوهشکده‌ی سل و بیماری‌های ریوی بیمارستان

درمان ضد TB می تواند نمای پلورال افیوژن را از حالت آزاد و غیر لکوله به نوع لکوله‌ی آن تغییر دهد (شکل ۲) که این تئوری می تواند در مطالعات آینده به طور دقیق تر مورد بررسی قرار گیرد.

از نکات قابل توجه یافته‌های این مطالعه، کاهش معنادار در میزان اسکار به دنبال درمان است. هرچند تصور غالب بر این است که یافته‌های مشاهده‌شده مطابق با اسکار در سی تی اسکن (به صورت کاهش حجم در لوب‌های فوقانی، کشیده شدن هیلوم معمولاً به بالا و بر هم ریختگی برونکوواسکولار) نشان دهنده‌ی مناطق تخریب پارانشیم و سکل فیروز ایجاد شده به دنبال درمان TB و در نتیجه غیر قابل برگشت است (۲۴، ۲۵)، نتایج حاصل از این مطالعه مطرح می‌کند که این نمای سی تی اسکن می تواند به دنبال درمان قابلیت برگشت داشته باشد.

به علاوه دقت به این نکته مهم است که برخی یافته‌های سی تی اسکن به دنبال درمان، بدون تغییر معنادار باقی مانده‌اند (شامل بروننشکتاری، لنفادنوپاتی بدون مرکز هایپودنس، ندول منفرد ریوی؟؛ بنابراین این مطالعه نتیجه می‌گیرد که سی تی اسکن بیماران حتی پس از درمان کامل TB، کاملاً نرمال نگشته است. با توجه به این که عوارض و عفونت‌های ریوی فراوانی با تظاهرات متفاوت در سی تی اسکن در بیماران دچار HIV مورد انتظار است (۲۵)، عدم توجه به این نکته می تواند باعث اشتباهات تشخیصی برای رادیولوژیست گردد (۲۶). تأیید وجود این یافته‌های باقیمانده پس از درمان، بیش از همه لزوم دقت رادیولوژیست برای جستجوی این یافته‌ها هنگام بررسی تصاویر سی تی اسکن برای تشخیص اولیه و ارزیابی عود مجدد بیماری را مطرح می‌کند.

مهم‌ترین محدودیت مطالعه‌ی حاضر، عدم در نظر گرفتن وضعیت سنی و یا استعمال دخانیات و نیز سابقه‌ی بیماری ریوی قبلی در بیماران (به عنوان عوامل مخدوش کننده‌ی احتمالی) است. با توجه به انتخاب بیماران از بین موارد قطعی عفونت TB، یافته‌های احتمالی سی تی اسکن در

خصوصی جهت انجام این طرح دریافت نشده است و نویسنده‌گان مقاله در مورد مواد و روش‌های به کار رفته در پژوهش قادر تعارض منافع جهت ذکر می‌باشند.

دکتر مسیح دانشوری بساکد IR.SBMU.NRITLD.REC.1393.112 گشته است. هیچ گونه بودجه‌ی پژوهشی از منابع دولتی یا

#### منابع

- 1.Global H. AIDS statistics—2018 fact sheet. UNAIDS website unaids.org/en/resources/fact-sheet Accessed May. 2019;31.
- 2.Sterling TR, Pham PA, Chaisson RE. HIV Infection—Related tuberculosis: Clinical manifestations and treatment. Clin Infect Dis. 2010;50:S223-S30.
- 3.Park WB, Kwon NJ, Choi SJ, Kang CK, Choe PG, Kim JY, et al. Virus Isolation from the First Patient with SARS-CoV-2 in Korea. J Korean Med Sci. 2020;35(7):e84.
- 4.Getahun H, Harrington M, O'Brien R, Nunn P. Diagnosis of smear-negative pulmonary tuberculosis in people with HIV infection or AIDS in resource-constrained settings: informing urgent policy changes. The Lancet. 2007;369(9578):2042-9.
- 5.Padyana M, Bhat RV, Dinesha M, Nawaz A. HIV-tuberculosis: A study of chest X-ray patterns in relation to CD4 count. N Am J Med Sci. 2012;4(5):221.
- 6.Bolursaz MR, Mehrian P, Aghahosseini F, Lotfian F, Khalilzadeh S, Baghaie N, et al. Evaluation of the relationship between smear positivity and high-resolution CT findings in children with pulmonary tuberculosis. Pol J Radiol. 2014;79:120.
- 7.Jaiswal A, Ahmad r. a clinico-radiological presentation of pulmonary tuberculosis in hiv positive patients in a tertiary care hospital. int j sci res. 2019;8(2)
- 8.Keiper MD, Beumont M, Elshami A, Langlotz CP, Miller Jr WT. CD4 T lymphocyte count and the radiographic presentation of pulmonary tuberculosis: a study of the relationship between these factors in patients with human immunodeficiency virus infection. Chest. 1995;107(1):74-80.
- 9.Nahid P, Gonzalez LC, Rudoy I, de Jong BC, Unger A, Kawamura LM, et al. Treatment outcomes of patients with HIV and tuberculosis. Am J Respir Crit Care Med. 2007;175(11):11.
- 10.Sharma S, Mohan A, Kadiravan T. HIV-TB co-infection: epidemiology, diagnosis & management. Indian J Med Res. 2005;121(4):550-67.
- 11.Payam M, Abtin D, Shams M, Niloufar A. Distribution and characteristics of intrathoracic lymphadenopathy in TB/HIV coinfection. Infect Disord Drug Targets. 2018;19(4):414-20..
- 12.Shafer RW, Edlin BR. Tuberculosis in patients infected with human immunodeficiency virus: perspective on the past decade. Clinical infectious diseases. 1996;22(4):683-704.
- 13.Perlman DC, El-Sadr WM, Nelson ET, Matts JP, Telzak EE, Salomon N, et al. Variation of chest radiographic patterns in pulmonary tuberculosis by degree of human immunodeficiency virus-related immunosuppression. Clin Infect Dis. 1997;25(2):242-6.
- 14.Hadadi A ,Rasoolinejad M, Davoudi S, Nikdel M, Rasteh M. Clinical characteristics of pulmonary tuberculosis in patients with HIV/AIDS: a case-control study. Tehran University Medical Journal TUMS Publications. 2006;64(5):87-95.
- 15.Kisembo H, Boon SD, Davis J, Okello R, Worodria W, Cattamanchi A, et al. Chest radiographic findings of pulmonary tuberculosis in severely immunocompromised patients with the human immunodeficiency virus. Br J Radiol. 2012;85(1014):e130-e9.
- 16.Leung AN, Brauner MW ,Gamsu G, Mlika-Cabanne N, Ben Romdhane H, Carette M-F, et al. Pulmonary tuberculosis: comparison of CT findings in HIV-seropositive and HIV-seronegative patients. Radiology. 1996;198(3):687-91.
- 17.De Almeida LA, Flores B, Alves M, Bombarda S, de Felice SA, Calore EE. Computed tomography findings of pulmonary tuberculosis in adult AIDS patients. Radiol Bras. 2011;44(1):13-9.
- 18.Havlir DV, Barnes PF. Tuberculosis in patients with human immunodeficiency virus infection. N Engl J Med. 1999;340(5):367-73.

- 19.Greenberg SD, Frager D, Suster B, Walker S, Stavropoulos C, Rothpearl A. Active pulmonary tuberculosis in patients with AIDS: spectrum of radiographic findings (including a normal appearance). *Radiology*. 1994;193(1):115-9.
- 20.Small PM, Schechter GF, Goodman PC, Sande MA, Chaisson RE, Hopewell PC. Treatment of tuberculosis in patients with advanced human immunodeficiency virus infection. *N Engl J Med*. 1991;324(5):289-94.
- 21.Skoura E, Zumla A, Bomanji J. Imaging in tuberculosis. *Int J Infect Dis*. 2015;32:87-93.
- 22.Zhai K, Lu Y, Shi H-Z. Tuberculous pleural effusion. *J Thorac Dis*. 2016;8(7):E486.
- 23.Van Dyck P, Vanhoenacker F, Van den Brande P, De Schepper A. Imaging of pulmonary tuberculosis. *Eur Radiol*. 2003;13(8):1771-85.
- 24.Im J-G, Itoh H, Han MC, editors. *CT of pulmonary tuberculosis*. Seminars in Ultrasound, CT and MRI; 1995: Elsevier.
- 25.Allen CM, Al-Jahdali HH, Irion KL, Al Ghanem S, Gouda A, Khan AN. Imaging lung manifestations of HIV/AIDS. *Ann Thorac Med*. 2010;5(4):201.
- 26.Hartman TE, Primack SL, Müller N, Staples C. Diagnosis of thoracic complications in AIDS: accuracy of CT. *AJR Am J Roentgenol*. 1994;162(3):547-53.
- 27.Shah RM, Kaji AV, Ostrum BJ, Friedman AC. Interpretation of chest radiographs in AIDS patients: usefulness of CD4 lymphocyte counts. *Radiographics*. 1997;17(1):47-58.